

# 岩はねに伴うアコウステック・エミッションに関する考察

京都大学工学部 正員 丹羽義次 正員 小林昭一

" " 福井卓雄 " O柳谷俊

" 學生員 大津政康

## 1.はじめに

岩はねは、トンネルや地下空洞の開削に伴って、周辺岩盤に発生する急激な破壊現象である。このような破壊現象が発生する機構は、まだ十分明確からかにされていとは言えないが、爆発的に破壊してエネルギーが開放される点からみて、一種の局部的座屈に近い現象であると推察されている。したがって、岩はねが発生するための条件としては、地下開削地盤の地山応力状態、地質状態と岩質、岩盤強度、開削断面の形状、応力集中ならびに変形状態、さらには、発破などによる破壊領域とクラック分布などが考えられる。これらの要因が、実際には複雑にからみあつて、非常に類似した条件であつても、ある場合には極めて急激に破壊し、またある場合には緩やかに破壊するなどの差異が生じることになる。またこれらの要因は、施工方法に影響されるものが多く、もし適切な手法が講じられれば、岩はねを防ぐたり、小規模なものに抑えることができるとも考えられる。しかしながら、現段階では如何にして最適な施工方法を選択するかということは難しい問題である。これらに関しては、実際の資料に基いて充分な検討を加え、岩はねの機構を明らかにし、さらに、少なくとも何らかの予知なし予防方法を確立することが急務である。

本報文は、このような見地から、岩はねの機構の解明とその予知を主眼として研究中のものの一部であり、特に岩はねに伴うアコウステック・エミッションの特性について考察をくわえようとするものである。

## 2. 岩はねに伴うアコウステック・エミッション

(a) 岩はねの観測：岩はねは、既に述べたように数多くの条件に支配されると考えられるが、経験的に、高圧地圧を受けた硬い堅岩に生じることが知られている。これは、トンネルなどの地下開削を行なうことによって、その周辺に次的な応力集中が生じ、また、掘削に伴う岩盤の強度低下とも相伴つて、たとえばFig.1に模式的に示すようなクラック系が発生し、それらが座屈に近い現象となって破壊し、岩はねが生じることを示唆している。このような現象は、局部的には、岩質材料の2軸圧縮試験で観られるものと同じものである。岩石の破片は非常に薄く、

Fig.2(b)に参考のため示してある。

Fig.2(a)に示すような孔面での剥離破壊もやはり岩はねの一種と考えられる。このような破壊モードは、孔軸にほぼ等しく2軸圧縮応力を受けた場合に生じる典型的なものである。なおこのような破壊には必ずしも微少破壊が先行し、破壊に伴なって応力波が放出される。これは、次のような装置により容易に測定できる。

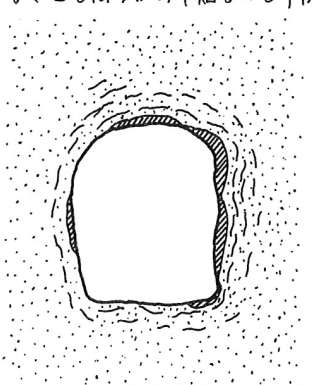


Fig.1 Peripheral cracks caused by excavation.

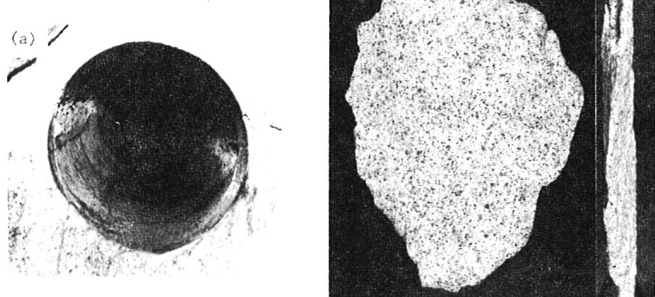


Fig.2(a) Surface fracture of boring hole.  
(b) Example of slabs separated from the tunnel wall.

b) アコースティック・エミッション測定装置：微少破壊に伴って発生した弾性波（一般にアコースティック・エミッション、略してAEとも呼ぶ）を、Fig.3に示す装置によって測定した。本研究では、室内実験においてはトランステューサーとしてチタン酸ジルコン酸鉛磁器（PZT-5，村田製作所製）をAEの検出に用い、70°45'アンペルに40dB増幅し、その後フィルターで低周波雜音を切り捨て、さらに10dB増幅し、ディスクリミネーターを用いて、電圧波高が50mV～100mVを越えるAEを一定時間間隔でカウントした。この時間間隔は、種々の予備実験の結果により、一つの微少破壊によるAEが一つのカウント数（一对）に対応するようにならねてある。

現地計測では室内実験と同じ装置に加えて、さらに、トランステューサーとして、加速度計（B&K社, 4344）を用い、チャージアンプにより増幅して、一定の波高を越えるものをカウントした。この際にも、適当な時間数をもつけて、一つのカウントが一つのAEと対応するようにならね。なお加速度計を用ひているので、検出される波動は軟正弦波、AE波動の振幅をgal単位で表示することができる。以上のような装置により検出できる。

さる周波数帯域は、PZT-5トランステューサーを用いたものでは、10kHz～2MHz、加速度計を用いたものでは1kHz～20kHzである。

c) 岩盤には伴うアコースティック・エミッション現場計測の一例として、上越新幹線の大清水トンネルの側壁を得たAEの加速度波形の一例をFig.4に示す。波形の特性は、検出位置周辺の幾何学的形状ならびにトランステューサーの固定の良否によつて多少の差が生じるが、P波とS波の区別は明瞭であり継続時間は数ms/secである。この例では、卓越周波数は約7kHzである。

この際に放出される弾性エネルギーを、破壊源より放射状に均等に伝播すると仮定してCook(1964)の式、すなわち

$$E = 4\pi r^2 \rho c \int_0^T v^2 dt$$

より求めよう。

$r = z''$ 、 $\rho$ 、 $c$ 、 $v$ 、 $T$ は、それぞれ、破壊源と観測点との距離、岩石の密度、P波速度、粒子速度、および積分時間間隔である。この際  $v_{peak}$  は  $1.6 \times 10^{-4} \text{ cm/sec}$ 、 $T$  は P 波と S 波の到着時間差によつて約 3 m と考え、岩石密度  $\rho$  は 2.7、P 波速度  $c$  は約 5000 m/sec とし、(コアサンプルの室内測定に

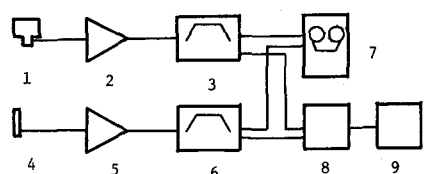


Fig.3 Apparatus for AE observation.

- 1. Accelerometer
- 2. Charge-Amp
- 3. Filter-Discriminator-Counter
- 4. Transducer (PZT-5 or 7)
- 5. Pre-Amp
- 6. Filter-Discriminator
- 7. Data-Recorder
- 8. Transient-Recorder
- 9. CRT

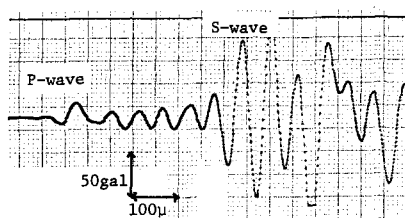


Fig.4 Typical acceleration record of AE in-situ.

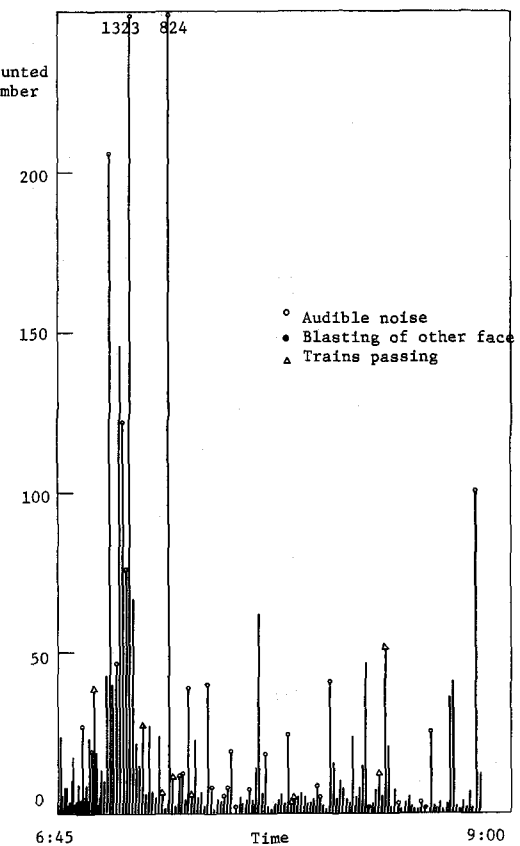


Fig.5 The counted events of AE in 30sec observed from 30min to 180min after blasting.

3)、P波の放出エネルギー- $E_p$ を計算すると、約0.8ergを得た。また地盤学では、P波のエネルギーとS波のエネルギーとの比 $E_p/E_s$ は0.05~0.2と見込まれているので、大略のところ、このAEは相当する活動の全エネルギーは約5~16ergと推察される。

Fig.5はトンネル側壁における、坑道上直角方向に敷物設置した際の、発破終了後30分後、これからち約2時間30分以内にて、周辺岩盤より発生するAEを加速度計でピックアップし、増幅して、時間の経過に伴う頻度の移りかわりを記録したものである。この際加速度10galをシレショルドにして、それを越える現象をカウントしている。なお図中には可聴音の発生した時刻、切羽の発破の時刻、トロッコの通過時刻なども記入しておりだ。この図より、AEの発生頻度は、大きく眺めると、発破後指數関数的に減少していくことがわかる。少しこまかくみると、可聴音発生の前にAEの頻度は次第に高くなり、後は漸減していくのが見える。この傾向は、Fig.6を見ればさらにはっきりする。またこれは室内でのテストピースの圧縮試験で得られる傾向と類似している。これは機械的には、可聴音を伴うような大きな破壊が生じる以前に、微小破壊が既に発生し続けていくことを意味している。なお、この計測では検出した周波数が比較的高いので、切羽での発破の影響とか、トロッコの通過に伴うノイズの影響が少ないのでわかる。

### 3. 岩はねのモデル実験

岩はねを支配する主要因子としては、環境的には高い地山。

心力の存在や、また地質的には脆性的な堅岩の存在があげられる。これらの条件を満すようなモデル実験を行えば、室内においても、小規模ではあるが、岩はね現象を生じさせかどさると言えう。

a) モデル：本研究では、このような考えに基づき、力学的には岩はねの発生機構をシミュレートする目的で小模型による室内実験を行なった。実験材料としては、セメントモルタルを用い、種々の配合比を選びことにより異なった強度ながらは脆性度を有するものを用いた。また、モデルとしては、応力集中を生じせしめるよう直方体側面に半円形切り欠きのある一軸圧縮用モデル、あるいは立方体中央に凹孔を有する多軸圧縮用モ

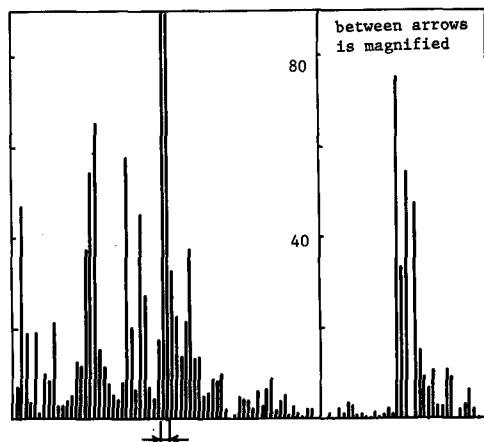


Fig.6 Details of Fig.5 (counted events-time curve)  
at max. counted rate every 10sec and 1sec.

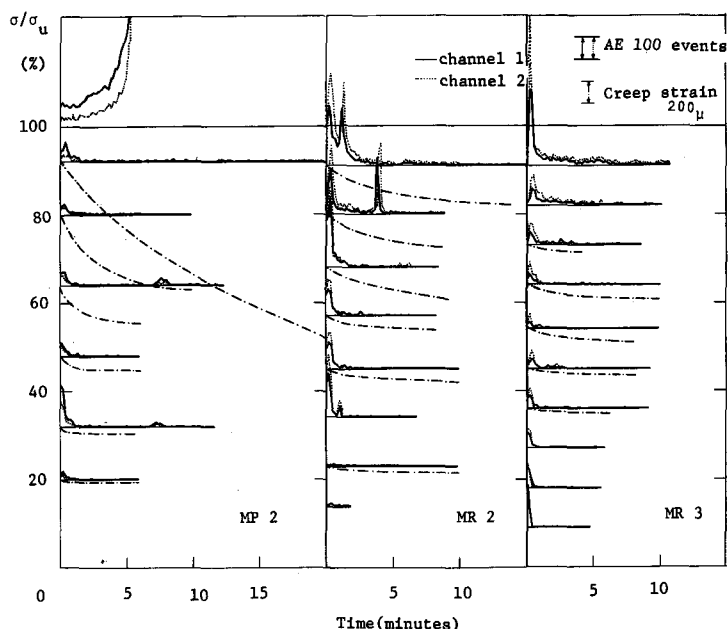


Fig.7 The counted events of AE with a continually increasing load

モデルを作製し T<sub>2</sub>。

b) 対象方法：モデルへの載荷は、主として、荷重レベルを数段階にかけて、各々のレベルで10~15分間、一定値は保持するようしながら全体的な破壊に至るまで漸増した。また AE の計測はモデルの 2カ所、可逆わち応力集中の最も高いと思われる附近と平均的な場所で PZT-7K により検出し、40~50dB 増幅、後頻度をカウントした。なお同時に、応力集中域の平均的ひずみも記録して T<sub>2</sub>。

(c) 実験結果：以上のようにして得られた結果の例を Fig.7 に示す。この図より、荷重レベルが高くなると、AE の発生頻度が高くなり、また一定荷重を保持していると AE の発生頻度は経過時間とともに減少すること分かる。また AE の発生頻度とクリープひずみ（レベルの統計から下向きには増加を示してある）との傾向とはよく符合しているともわかる。なお、オーバーの例は 74~77 階層が生じたことを示してあることに注意されたい。また同じ例で、ある程度時間が経過してから再び AE の発生頻度が高くなる（例（下から 2つ目および 4つ目））があるが、これはこの時奥で横方向から載荷を加えたことによる複雑によるものである。室内的モデル実験で得られた Fig.7 と現地計測例は Fig.5 とを比較してみると、全体的にはよく似た傾向が見られる。この結果から、実際の岩はねなし抗壁の破壊は、AE の発生頻度から推察して、非常に局部的な微少破壊であり、これらが発達して次第に全体的には安定な状態を経て行くことが伺える。AE の発生頻度をさらに詳しく調べてみると、時間当たりの頻度が一定ではなく、ほぼ周期的な変動があることがわかる。これは現地計測結果ともよくあり、微少破壊が断続的に進行していることを示唆している。この点に関しては、なお一層詳細に調べる必要がある。

#### 4. 岩はねの予測と制御の可能性

岩はねに関する予備的な実験から得られた知識を総合してみると、岩はねは高い初期地山応力を受ける堅い岩盤中に開削した空洞周辺の応力集中域に生じ、その引き金には、空洞周辺の幾何学的な不規則性とか岩盤の非均質性なし、崩壊等による微少局所破壊などを考えられる。応力集中に関する限りでは、例えばトンネルはつくりを考えると、切羽周辺は三次元的応力となるが、それほど側壁の応力集中はそれ程高くないが、切羽からトンネルの直徑程度手前では、せん断の効果はほとんど消失し、いかゆる二次元的（平面ひずみ的）な状態はなっており、側壁の応力は三次元的なものより相当高くなっている。そのためには、切羽の形状とかトンネルの断面形状によることもあるが、いずれにしても、トンネル切羽から漸増し、直徑程度手前では三次元的な応力なし変形挙動となるであろう。したがって応力集中部とヒンの附近が岩はねを生じる可能性が最も大きいと言える。危険性があれば、早や日付の前に近いところでは何とかの処置を講じておくことが必要である。岩はねの予測に関しては現段階で言及することは難しいが、AE の発生頻度から見て、岩はねの前段階である微少破壊音（AE）を検出することができれば可能性があるなどう。

#### 5. おわりに

本研究は岩はねの機構を解明し、それを施工管理に役立てることを目的として、日本鉄道建設公团新潟新幹線建設局より行なった基礎研究の一環である。研究の遂行にあたっては、同建設局ならびに大清水トンネル湯沢建設部ならびに大成建設の御援助を得た。記して感謝の意を表したい。

## SOME CONSIDERATIONS ON ACOUSTIC EMISSIONS DUE TO ROCK BURST

by Yoshiji NIWA\*, Shoichi KOBAYASHI\*  
Takuo FUKUI†, Takashi YANAGIDANI\*\*  
and Masayasu OTSU\*

The present paper is concerned with the characteristics of acoustic emissions due to rock burst, which is a part of the study being carried on in order to investigate the mechanism of rock burst and to predict it. Although the mechanism of rock burst is not yet clearly understood, it may be recognized as a kind of local buckling of the thin surface layer around heavy stressed cavity wall which is someway damaged by blasting or inhomogeneously stressed due to geological complexity. Thus acoustic or stress waves are always emitted and observed before a rock burst occurs.

In the first half of this paper, some features of acoustic emissions of in-situ observation are described. The energy of an observed rock burst is estimated, for example, about 10 erg, which is calculated based on the primary wave and then enlarged to involve that of the secondary wave. The counted events of acoustic emissions in 30 sec observed from 30 min to 180 min after blasting show almost exponential decay with an increase of time. During the observation more than ten times of burst audible noise are heard. By the close investigation of the results, it is observed that the counted events of acoustic emissions gradually increase just before the audible noise and gradually decay after it.

In the second half of the paper, characteristics of the acoustic emissions of laboratory model tests are described. The counted events of acoustic emissions increase with a continual increase with several pauses of load. During the pause, i.e. constant load kept, counted events of acoustic emissions decrease with some periodical fluctuations with an increase of time. Roughly speaking, these results coincide with those of in-situ observations.

Judging from the results observed, it may be concluded that rock burst can be predicted if continuous monitoring of acoustic emissions is possible.

---

\* Department of Civil Engineering, Kyoto University

\*\* Department of Mineral science and Technology, Kyoto University